

# Einführung in LaTeX

Daniel Renschler

18. Juli 2023

1 L<sup>A</sup>T<sub>E</sub>X?

2 Beispiele

3 Beispiele

4 Anderes

# Geschichte

- Donald Knuth hat 1977-1986 T<sub>E</sub>Xgemacht, da er die typografische Qualität seiner Bücher nicht gut fand. (The Art of Computer Programming)



# Was ist L<sup>A</sup>T<sub>E</sub>X?

- Textsatzsystem.
- Ermöglicht Erstellen von Dokumenten.
- Beliebt im Akademischen Bereich/Wissenschaft.
- Erstellt hochwertige PDF Ausgabe.

# Warum L<sup>A</sup>T<sub>E</sub>X?

- Ist sehr intuitiv.
- Sehr extensiv mit packages.
- Kümmert sich um viel von alleine
- Man muss sich nicht mit Typografie und Vergleichbarem vertraut machen<sup>1</sup>.
- Macht spaß

---

<sup>1</sup>Es funktioniert einfach und sieht gut aus.

# Warum nicht Word? (oder andere WYSIWYG<sup>2</sup> software)

- Word macht es schwerer Änderungen an großen Dokumenten vorzunehmen.
- Bibliografien werden nicht automatisch gemacht, auch Zitierstil nachträglich änderbar.
- Seitenzahlen, Referenzen, etc. werden nicht automatisch erzeugt.
- *kann man nicht in Vim benutzen.*

---

<sup>2</sup>WYSIWYG = What you see is what you get

# Nutzzwecke

- Ausarbeitungen/Laborberichte
- Präsentationen
- Dokumente
- Lebenslauf
- Bücher

# Berichte

## ■ Laborberichte

### Das Gravitationsgesetz

Ando Kinnel, David Renschler  
13. Juni 2021

#### Fragestellung

Begründe Sie, dass die Gravitation  $g$  unabhängig von der Masse ist.

$g = G \frac{M}{r^2}$

Berechnen Sie den Wert von  $g$  an der Oberfläche der Erde. Wie groß ist die Beschleunigung  $g$  an der Oberfläche des Mondes (Gravitationskonstante)?

#### Versuch 1

Abbildung 1: Messung der Gravitationskonstante  $G$  mit der Federwaage.

##### Durchführung

- Bestimmen Sie die Masse  $m$  der Federwaage mit Hilfe einer Waage.
- Bestimmen Sie die Federkonstante  $k$  der Federwaage.
- Bestimmen Sie die Masse  $M$  der Federwaage.
- Bestimmen Sie die Federkonstante  $k$  der Federwaage.
- Bestimmen Sie die Masse  $m$  der Federwaage.
- Bestimmen Sie die Federkonstante  $k$  der Federwaage.

##### Auswertung

- Bestimmen Sie die Masse  $m$  der Federwaage.
- Bestimmen Sie die Federkonstante  $k$  der Federwaage.
- Bestimmen Sie die Masse  $M$  der Federwaage.
- Bestimmen Sie die Federkonstante  $k$  der Federwaage.
- Bestimmen Sie die Masse  $m$  der Federwaage.
- Bestimmen Sie die Federkonstante  $k$  der Federwaage.

### Versuch 2

#### Durchführung

Bestimmen Sie die Masse  $m$  der Federwaage mit Hilfe einer Waage.

Bestimmen Sie die Federkonstante  $k$  der Federwaage.

Bestimmen Sie die Masse  $M$  der Federwaage.

Bestimmen Sie die Federkonstante  $k$  der Federwaage.

Bestimmen Sie die Masse  $m$  der Federwaage.

Bestimmen Sie die Federkonstante  $k$  der Federwaage.

#### Auswertung

- Bestimmen Sie die Masse  $m$  der Federwaage.
- Bestimmen Sie die Federkonstante  $k$  der Federwaage.
- Bestimmen Sie die Masse  $M$  der Federwaage.
- Bestimmen Sie die Federkonstante  $k$  der Federwaage.
- Bestimmen Sie die Masse  $m$  der Federwaage.
- Bestimmen Sie die Federkonstante  $k$  der Federwaage.

### Versuch 3

#### Durchführung

Bestimmen Sie die Masse  $m$  der Federwaage mit Hilfe einer Waage.

Bestimmen Sie die Federkonstante  $k$  der Federwaage.

Bestimmen Sie die Masse  $M$  der Federwaage.

Bestimmen Sie die Federkonstante  $k$  der Federwaage.

Bestimmen Sie die Masse  $m$  der Federwaage.

Bestimmen Sie die Federkonstante  $k$  der Federwaage.

#### Auswertung

- Bestimmen Sie die Masse  $m$  der Federwaage.
- Bestimmen Sie die Federkonstante  $k$  der Federwaage.
- Bestimmen Sie die Masse  $M$  der Federwaage.
- Bestimmen Sie die Federkonstante  $k$  der Federwaage.
- Bestimmen Sie die Masse  $m$  der Federwaage.
- Bestimmen Sie die Federkonstante  $k$  der Federwaage.

### Versuch 4

#### Durchführung

Bestimmen Sie die Masse  $m$  der Federwaage mit Hilfe einer Waage.

Bestimmen Sie die Federkonstante  $k$  der Federwaage.

Bestimmen Sie die Masse  $M$  der Federwaage.

Bestimmen Sie die Federkonstante  $k$  der Federwaage.

Bestimmen Sie die Masse  $m$  der Federwaage.

Bestimmen Sie die Federkonstante  $k$  der Federwaage.

#### Auswertung

- Bestimmen Sie die Masse  $m$  der Federwaage.
- Bestimmen Sie die Federkonstante  $k$  der Federwaage.
- Bestimmen Sie die Masse  $M$  der Federwaage.
- Bestimmen Sie die Federkonstante  $k$  der Federwaage.
- Bestimmen Sie die Masse  $m$  der Federwaage.
- Bestimmen Sie die Federkonstante  $k$  der Federwaage.

### Versuch 5

#### Durchführung

Bestimmen Sie die Masse  $m$  der Federwaage mit Hilfe einer Waage.

Bestimmen Sie die Federkonstante  $k$  der Federwaage.

Bestimmen Sie die Masse  $M$  der Federwaage.

Bestimmen Sie die Federkonstante  $k$  der Federwaage.

Bestimmen Sie die Masse  $m$  der Federwaage.

Bestimmen Sie die Federkonstante  $k$  der Federwaage.

#### Auswertung

- Bestimmen Sie die Masse  $m$  der Federwaage.
- Bestimmen Sie die Federkonstante  $k$  der Federwaage.
- Bestimmen Sie die Masse  $M$  der Federwaage.
- Bestimmen Sie die Federkonstante  $k$  der Federwaage.
- Bestimmen Sie die Masse  $m$  der Federwaage.
- Bestimmen Sie die Federkonstante  $k$  der Federwaage.

## Abbildung 3: Laborprotokoll Gravitationsgesetz



# Paper

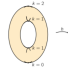


Figure 1.3: Example of a Morse function on the torus.  $h$  has two critical points, the index 1, the number of downward directions is indicated.

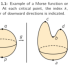


Figure 1.4: Two Morse functions on  $S^2$  with a different number of critical points.  $(x, y) \mapsto x^2$




Figure 1.5: An example of an embedding where the height function is not Morse.

CHAPTER 1. MORSE THEORY

Intuitively, the index of a critical point  $p$  is "the number of downward directions". Let us give some examples of Morse functions.

**Example 1.3.** Let  $M$  be the torus  $T^2$  embedded in  $\mathbb{R}^3$  as illustrated in Figure 1.3. Then the height function  $h: T^2 \rightarrow \mathbb{R}$  which is the projection on the  $z$ -axis is a Morse function with four critical points. We have a minimum, two saddle points and a maximum, whose indices are 0, 1, 1, 2 respectively.

**Example 1.4.** In Figure 1.2, we have illustrated two embeddings of  $S^2$  in  $\mathbb{R}^3$  and considering the corresponding height functions, we get two Morse functions  $S^2 \rightarrow \mathbb{R}$ . The first one has only two critical points: a maximum and a minimum. The second one has two maxima, a saddle point and a minimum. Later on we will prove that any manifold admitting a Morse function with only two critical points is homeomorphic to the sphere.

**Remark 1.5.** Let  $M = \mathbb{R}^n$  and  $f: \mathbb{R}^n \rightarrow \mathbb{R}, (x, y) \mapsto x^2$ . Then all points  $(x, y)$  for  $x = 0$  are critical points of this function. In particular,  $(0, 0)$  is a critical point. As it is impossible to find local coordinates  $(u, v)$  for which  $f$  can be written as  $u^2 + v^2$ , we conclude that  $(0, 0)$  is not Morse.

**Example 1.6.** Let  $M = \mathbb{R}$  and  $f: \mathbb{R} \rightarrow \mathbb{R}, x \mapsto x^3$ . Then  $x = 0$  is a critical point, but  $f$  is not Morse. Note however that if we add a small perturbation to  $f$ , say  $g: x \mapsto x^3 + x$ , then  $g$  is still non-morse if  $g$  is Morse. For  $t < 0$ ,  $g$  has two critical points: one of index 1 and one of index 0. If  $t > 0$ ,  $g$  has no critical points.

Note that this last case where  $f$  has no critical points cannot happen if  $M$  is compact. Indeed, any function attains its maximum and minimum on a compact manifold, so we have at least two critical points. On the other hand, the number of critical points is at most finite. This is because of the definition of a Morse function. It implies that critical points are isolated, which on a compact manifold implies that there are only a finite number of them. This also immediately rules out the situation we had in the other example, where the set of critical points was a straight line.

## 1.2 Coordinate-free definition

The attentive reader will have noticed that the notion of the index of a critical point could possibly be coordinate dependent and hence ill-defined. In order to show that it is not, we will give an equivalent coordinate-free definition. For this, let us first define the Hessian.

**Definition 1.7 (Hessian).** Let  $M$  be a manifold and  $f: M \rightarrow \mathbb{R}$  a function. Let  $p$  be a critical point of  $f$ . Then we define the Hessian  $H_p$  to be the bilinear form

$$H_p = T_p^* M \times T_p M \rightarrow \mathbb{R},$$

$$(X, Y) \mapsto X(\nabla Y)f|_p,$$

where  $\nabla$  is a local extension of  $\nabla$  around  $p$ .

## 1.2. COORDINATE-FREE DEFINITION

Because we are only considering the Hessian  $H_p$  at critical points, this is a well defined symmetric bilinear form.<sup>12</sup> In case of a Morse function given locally by  $f(x) = f(x) = x_1^2 + \dots + x_k^2 - x_{k+1}^2 - \dots - x_n^2$ , the Hessian at  $p$  is

$$H_p = 2x_1 \frac{\partial^2 f}{\partial x_1^2} - \dots - 2x_k \frac{\partial^2 f}{\partial x_k^2} + \dots + 2x_{k+1} \frac{\partial^2 f}{\partial x_{k+1}^2} - \dots - 2x_n \frac{\partial^2 f}{\partial x_n^2},$$

where  $\frac{\partial^2 f}{\partial x_i^2} = d_x^2 f$ . Note in particular that  $H_p$  is non-degenerate and its signature is  $(k, n-k) = (n, n)$ , as we have  $k$  positive eigenvalues and  $n-k$  negative eigenvalues. As the signature of a symmetric bilinear form is coordinate independent, this shows that the index of a critical point is as well.

Interestingly, the converse is also true: if  $H_p$  is non-degenerate for all critical points  $p$  of  $f$ , then  $f$  is a Morse function. Many authors take this to be the definition of a Morse function, and then prove the so-called Morse lemma stating that there always exist local coordinates such that  $f$  is given by

$$f(x) = f(p) - x_1^2 - \dots - x_k^2 + x_{k+1}^2 + \dots + x_n^2,$$

which is our definition of a Morse function. With our choice, the Morse lemma takes on the following form:

**Lemma 1.8 (Morse Lemma).** Let  $M$  be a manifold and  $f: M \rightarrow \mathbb{R}$  a smooth function. If for all  $p \in \text{Crit } f$ , the Hessian  $H_p$  is non-degenerate, then  $f$  is Morse.

**Proof.** We follow the proof of Milnor<sup>13</sup>. We may assume that  $M = \mathbb{R}^n$ ,  $p$  is the origin and  $f(p) = 0$ . Then by a version of Taylor's theorem, we can write

$$f(x) = f(p) + \sum_{i=1}^n \frac{\partial f}{\partial x_i}(p) x_i + \sum_{i,j=1}^n \frac{\partial^2 f}{\partial x_i \partial x_j}(p) x_i x_j + \dots$$

where  $g$  are smooth functions. Now, as  $g(x) = \nabla f(x) = 0$ , we can prove this for each  $g$ , giving us the following

$$f(x) = \sum_{i,j=1}^n \frac{\partial^2 f}{\partial x_i \partial x_j}(p) x_i x_j + \dots$$

Because the sum is symmetric in  $i$  and  $j$ , we may assume that  $H_p$  is symmetric as well.<sup>14</sup> Note that

$$H_p(x) = \sum_{i,j=1}^n \frac{\partial^2 f}{\partial x_i \partial x_j}(p) x_i x_j,$$

which is non-degenerate by assumption.

Now we discuss the proof of diagonalization of a non-degenerate quadratic form. We do this by induction. Suppose we have coordinates  $u_1, \dots, u_{n-1}$  a neighborhood of  $0$  such that

$$f = \lambda_1^2 u_1^2 - \dots - \lambda_{n-1}^2 u_{n-1}^2 + \sum_{i=1}^{n-1} u_i^2 h_i(u_i),$$

<sup>12</sup> The difference between  $H_p(X, Y)$  and  $H_p(Y, X)$  is given by  $H_p(X, Y) - H_p(Y, X) = X(Yf) - Y(Xf) = [X, Y]f = 0$ .

The value of  $H_p$  also does not depend on the choice of the coordinate system. Indeed, suppose  $f$  and  $\tilde{f}$  are two different extensions of  $f$ . Then by symmetry of  $H_p$ , we have

$X(Y\tilde{f}) = Y(X\tilde{f}) = X(Yf) = Y(Xf) = \tilde{X}(\tilde{Y}\tilde{f}) = \tilde{Y}(\tilde{X}\tilde{f}) = 0$ .

<sup>13</sup> John Milnor, Morse theory (AMS-55), Vol. 16, Princeton university press, 2010, p. 6

<sup>14</sup> If  $A_p$  is not symmetric, we can replace it by  $A_p + A_p^T = 2A_p$ . Then  $A_p$  is symmetric and we still have  $\sum_{i,j=1}^n A_{ij}(p) x_i x_j = \sum_{i,j=1}^n A_{ji}(p) x_i x_j$ .

## Abbildung: Auszug einer Masterarbeit über Morse Theory

Daniel Renschler  
Einführung in LaTeX

Navigation icons

# Beispiel 1

Beispiele:

- Irgendwas mit Euler [1]

$$\mathcal{L} = \frac{\partial}{\partial t} + \frac{1}{2} \sum_{k=1}^m \frac{\partial^2}{\partial y_k^2}.$$

- Analysis Aufgabe:

$$\lim_{x \rightarrow \int_0^\infty \sqrt{t} e^{-t} dt} \left( \left( \sum_{n=0}^{\infty} \frac{x^{4n_4}}{(2n+1)(4n+3)(4n+4)} \right)'' \right).$$

# Toeplitz Matrix

$$A = \begin{bmatrix} a_0 & a_{-1} & a_{-2} & \dots & \dots & a_{-n+1} \\ a_1 & a_0 & a_{-1} & \ddots & & \vdots \\ a_2 & a_1 & \ddots & \ddots & \ddots & \vdots \\ \vdots & \ddots & \ddots & \ddots & a_{-1} & a_{-2} \\ \vdots & & \ddots & a_1 & a_0 & a_{-1} \\ a_{n-1} & \dots & \dots & a_2 & a_1 & a_0 \end{bmatrix}.$$

# Physik Beispiel

Sequential Quantum Circuits as Maps between Gapped Phases.[2]

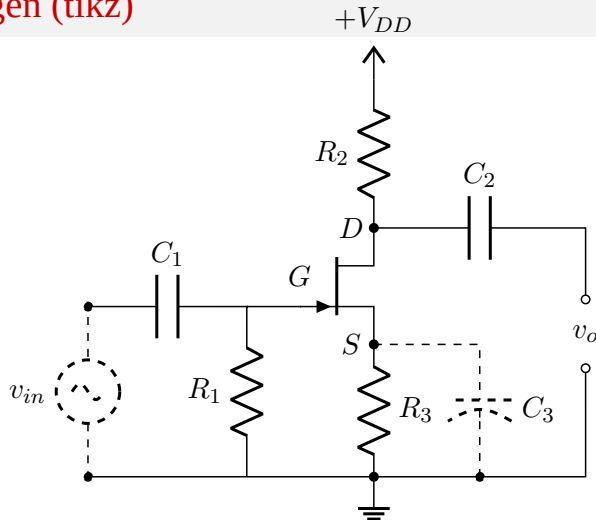
$$\frac{1}{|G|} \sum_g X_i^g \rightarrow \sum_h T_{i-1}^h T_i^h, \quad i = 2, \dots, N,$$

$$\frac{1}{|G|} \sum_g X_1^g \rightarrow \frac{1}{|G|} \sum_{h,h'} e^{-\frac{2\pi i}{|G|}(h'-h)g} T_1^h T_N^{h'} \prod_{i=1}^N X_i^g,$$

$$\sum_h T_i^h T_{i+1}^h \rightarrow \frac{1}{|G|} \sum_g X_i^g, \quad i = 2, \dots, N$$

$$\sum_h T_1^h T_2^h \rightarrow \frac{1}{|G|} \sum_g X_1^g \prod_{i=1}^N X_i^g.$$

# Abbildungen (tikz)



# Berichte

## ■ Laborberichte

**Das Gravitationsgesetz**  
Ando Kinnel, David Renschler  
13. Juni 2021

**Fragestellung**  
Berechnen Sie, dass die Gravitation  $g$  auf der Erde ist.  
 $g = G \frac{M}{R^2}$   
Berechnen Sie, dass die Gravitation  $g$  auf der Erde ist.  
Die Erde hat einen Radius von  $R = 6371 \text{ km}$  und eine Masse von  $M = 5.972 \cdot 10^{24} \text{ kg}$ .  
Die Gravitationskonstante ist  $G = 6.674 \cdot 10^{-11} \text{ N m}^2 \text{ kg}^{-2}$ .

**Versuch 1**  
Abbildung 1: Messung der Gravitationskonstante  $G$  mit dem Cavendish-Experiment.

**Durchführung**  
a) Berechnen Sie die Gravitation  $g$  auf der Erde.  
b) Berechnen Sie die Gravitation  $g$  auf der Erde.  
c) Berechnen Sie die Gravitation  $g$  auf der Erde.  
d) Berechnen Sie die Gravitation  $g$  auf der Erde.  
e) Berechnen Sie die Gravitation  $g$  auf der Erde.  
f) Berechnen Sie die Gravitation  $g$  auf der Erde.  
g) Berechnen Sie die Gravitation  $g$  auf der Erde.  
h) Berechnen Sie die Gravitation  $g$  auf der Erde.  
i) Berechnen Sie die Gravitation  $g$  auf der Erde.  
j) Berechnen Sie die Gravitation  $g$  auf der Erde.  
k) Berechnen Sie die Gravitation  $g$  auf der Erde.  
l) Berechnen Sie die Gravitation  $g$  auf der Erde.  
m) Berechnen Sie die Gravitation  $g$  auf der Erde.  
n) Berechnen Sie die Gravitation  $g$  auf der Erde.  
o) Berechnen Sie die Gravitation  $g$  auf der Erde.  
p) Berechnen Sie die Gravitation  $g$  auf der Erde.  
q) Berechnen Sie die Gravitation  $g$  auf der Erde.  
r) Berechnen Sie die Gravitation  $g$  auf der Erde.  
s) Berechnen Sie die Gravitation  $g$  auf der Erde.  
t) Berechnen Sie die Gravitation  $g$  auf der Erde.  
u) Berechnen Sie die Gravitation  $g$  auf der Erde.  
v) Berechnen Sie die Gravitation  $g$  auf der Erde.  
w) Berechnen Sie die Gravitation  $g$  auf der Erde.  
x) Berechnen Sie die Gravitation  $g$  auf der Erde.  
y) Berechnen Sie die Gravitation  $g$  auf der Erde.  
z) Berechnen Sie die Gravitation  $g$  auf der Erde.

**Abbildung 1: Gravitation**

**Wir erhalten**

**Versuch 2**

**Durchführung**  
a) Berechnen Sie die Gravitation  $g$  auf der Erde.  
b) Berechnen Sie die Gravitation  $g$  auf der Erde.  
c) Berechnen Sie die Gravitation  $g$  auf der Erde.  
d) Berechnen Sie die Gravitation  $g$  auf der Erde.  
e) Berechnen Sie die Gravitation  $g$  auf der Erde.  
f) Berechnen Sie die Gravitation  $g$  auf der Erde.  
g) Berechnen Sie die Gravitation  $g$  auf der Erde.  
h) Berechnen Sie die Gravitation  $g$  auf der Erde.  
i) Berechnen Sie die Gravitation  $g$  auf der Erde.  
j) Berechnen Sie die Gravitation  $g$  auf der Erde.  
k) Berechnen Sie die Gravitation  $g$  auf der Erde.  
l) Berechnen Sie die Gravitation  $g$  auf der Erde.  
m) Berechnen Sie die Gravitation  $g$  auf der Erde.  
n) Berechnen Sie die Gravitation  $g$  auf der Erde.  
o) Berechnen Sie die Gravitation  $g$  auf der Erde.  
p) Berechnen Sie die Gravitation  $g$  auf der Erde.  
q) Berechnen Sie die Gravitation  $g$  auf der Erde.  
r) Berechnen Sie die Gravitation  $g$  auf der Erde.  
s) Berechnen Sie die Gravitation  $g$  auf der Erde.  
t) Berechnen Sie die Gravitation  $g$  auf der Erde.  
u) Berechnen Sie die Gravitation  $g$  auf der Erde.  
v) Berechnen Sie die Gravitation  $g$  auf der Erde.  
w) Berechnen Sie die Gravitation  $g$  auf der Erde.  
x) Berechnen Sie die Gravitation  $g$  auf der Erde.  
y) Berechnen Sie die Gravitation  $g$  auf der Erde.  
z) Berechnen Sie die Gravitation  $g$  auf der Erde.

**Abbildung 2: Messung der Gravitationskonstante  $G$  mit dem Cavendish-Experiment.**

**Wir erhalten**

**Versuch 3**

**Durchführung**  
a) Berechnen Sie die Gravitation  $g$  auf der Erde.  
b) Berechnen Sie die Gravitation  $g$  auf der Erde.  
c) Berechnen Sie die Gravitation  $g$  auf der Erde.  
d) Berechnen Sie die Gravitation  $g$  auf der Erde.  
e) Berechnen Sie die Gravitation  $g$  auf der Erde.  
f) Berechnen Sie die Gravitation  $g$  auf der Erde.  
g) Berechnen Sie die Gravitation  $g$  auf der Erde.  
h) Berechnen Sie die Gravitation  $g$  auf der Erde.  
i) Berechnen Sie die Gravitation  $g$  auf der Erde.  
j) Berechnen Sie die Gravitation  $g$  auf der Erde.  
k) Berechnen Sie die Gravitation  $g$  auf der Erde.  
l) Berechnen Sie die Gravitation  $g$  auf der Erde.  
m) Berechnen Sie die Gravitation  $g$  auf der Erde.  
n) Berechnen Sie die Gravitation  $g$  auf der Erde.  
o) Berechnen Sie die Gravitation  $g$  auf der Erde.  
p) Berechnen Sie die Gravitation  $g$  auf der Erde.  
q) Berechnen Sie die Gravitation  $g$  auf der Erde.  
r) Berechnen Sie die Gravitation  $g$  auf der Erde.  
s) Berechnen Sie die Gravitation  $g$  auf der Erde.  
t) Berechnen Sie die Gravitation  $g$  auf der Erde.  
u) Berechnen Sie die Gravitation  $g$  auf der Erde.  
v) Berechnen Sie die Gravitation  $g$  auf der Erde.  
w) Berechnen Sie die Gravitation  $g$  auf der Erde.  
x) Berechnen Sie die Gravitation  $g$  auf der Erde.  
y) Berechnen Sie die Gravitation  $g$  auf der Erde.  
z) Berechnen Sie die Gravitation  $g$  auf der Erde.

**Abbildung 3: Messung der Gravitationskonstante  $G$  mit dem Cavendish-Experiment.**

**Wir erhalten**

## Abbildung 3: Laborprotokoll Gravitationsgesetz

# Paper

CHAPTER 1. MORSE THEORY

Intuitively, the index of a critical point  $p$  is "the number of downward directions". Let us give some examples of Morse functions.

**Example 1.3.** Let  $M$  be the torus  $T^2$  embedded in  $\mathbb{R}^3$  as illustrated in Figure 1.3. Then the height function  $h: T^2 \rightarrow \mathbb{R}$  which is the projection on the  $z$ -axis is a Morse function with four critical points. We have a minimum, two saddle points and a maximum, whose indices are 0, 1, 1, 2 respectively.

**Example 1.4.** In Figure 1.2, we have illustrated two embeddings of  $S^2$  in  $\mathbb{R}^3$ , and considering the corresponding height functions, we get two Morse functions  $S^2 \rightarrow \mathbb{R}$ . The first one has only two critical points: a maximum and a minimum. The second one has two maxima, a saddle point and a minimum. Later on we will prove that any manifold admitting a Morse function with only two critical points is homeomorphic to the sphere.

**Nonexample 1.5.** Let  $M = \mathbb{R}^2$  and  $f: \mathbb{R}^2 \rightarrow \mathbb{R}, (x, y) \mapsto x^2$ . Then all points  $(x, y)$  for  $x = 0$  are critical points of this function. In particular,  $(0, 0)$  is a critical point. As it is impossible to find local coordinates  $(u, v)$  for which  $f$  can be written as  $u^2 + v^2$ , we conclude that  $f$  is not Morse.

**Nonexample 1.6.** Let  $M = \mathbb{R}$  and  $f: \mathbb{R} \rightarrow \mathbb{R}, x \mapsto x^3$ . Then  $x = 0$  is a critical point, but  $f$  is not Morse. Note however that if we add a small perturbation to  $f$ , say  $g: x \mapsto x^3 + x$ , then  $g$  is a Morse function. For  $t < 0$ ,  $g$  has two critical points: one of index 1 and one of index 0. If  $t > 0$ ,  $g$  has no critical points.

Note that this last case where  $f$  has no critical points cannot happen if  $M$  is compact. Indeed, any function attains its maximum and minimum on a compact manifold, so we have at least two critical points. On the other hand, the number of critical points is at most finite. This is because of the definition of a Morse function: it implies that critical points are isolated, which on a compact manifold implies that there are only a finite number of them. This also immediately rules out the situation we had in the other example, where the set of critical points was a straight line.

**1.2 Coordinate-free definition**

The attentive reader will have noticed that the notion of the index of a critical point could possibly be coordinate dependent and hence ill-defined. In order to show that it is not, we will give an equivalent coordinate-free definition. For this, let us first define the Hessian.

**Definition 1.7 (Hessian).** Let  $M$  be a manifold and  $f: M \rightarrow \mathbb{R}$  a function. Let  $p$  be a critical point of  $f$ . Then we define the Hessian  $H_p$  to be the bilinear form

$$H_p = T_p^* T_p f'' f''^* : T_p M \times T_p M \rightarrow \mathbb{R},$$

$$(X, Y) \mapsto X(Y)f'' f''^*(Y)$$

where  $f''$  is a local extension of  $f$  around  $p$ .

Figure 1.3: Example of a Morse function on the torus. As each critical point, the index  $i$ , the number of downward directions is indicated.

Figure 1.2: Two Morse functions on  $S^2$  with a different number of critical points.

Figure 1.4: An example of a function that is not Morse.  $f: \mathbb{R} \rightarrow \mathbb{R}, x \mapsto x^3$ . Small perturbations of  $f$  are Morse.

1.2. COORDINATE-FREE DEFINITION

Because we are only considering the Hessian  $H_p$  at critical points, this is a well defined symmetric bilinear form.<sup>12</sup> In case of a Morse function given locally by  $f(x) = f(x_1, \dots, x_n) = x_1^2 + \dots + x_k^2 - x_{k+1}^2 - \dots - x_n^2$ , the Hessian at  $p$  is

$$H_p = 2x_1^2 - 2x_2^2 - \dots - 2x_k^2 + 2x_{k+1}^2 - \dots + 2x_n^2,$$

where  $dx_i = dx_i \circ d_x$ . Note in particular that  $H_p$  is non-degenerate and its signature is  $(k, n-k) = (n, n-k)$ , as we have  $k$  positive eigenvalues and  $n-k$  negative eigenvalues. As the signature of a symmetric bilinear form is coordinate independent, this shows that the index of a critical point is as well.

Interestingly, the converse is also true: if  $H_p$  is non-degenerate for all critical points  $p$  of  $f$ , then  $f$  is a Morse function. Many authors take this to be the definition of a Morse function, and then prove the so-called Morse lemma stating that there always exist local coordinates such that  $f$  is given by

$$f(x) = f(p) - x_1^2 - \dots - x_k^2 + x_{k+1}^2 - \dots + x_n^2,$$

which is our definition of a Morse function. With our choice, the Morse lemma takes on the following form:

**Lemma 1.8 (Morse Lemma).** Let  $M$  be a manifold and  $f: M \rightarrow \mathbb{R}$  a smooth function. If for all  $p \in \text{Crit } f$ , the Hessian  $H_p$  is non-degenerate, then  $f$  is Morse.

**Proof.** We follow the proof of Milnor<sup>13</sup>. We may assume that  $M = \mathbb{R}^n$ ,  $p$  is the origin and  $f(p) = 0$ . Then by a version of Taylor's theorem, we can write

$$f(x) = f(p) + \sum_{i=1}^n g_i(x) \cdot x_i - p_i g_i(x)$$

$$= \sum_{i=1}^n g_i(x) \cdot x_i$$

where  $g_i$  are smooth functions. Now, as  $g_i(x) = \partial_i f(x) = 0$ , we can prove this for each  $g_i$ , giving us the following:

$$f(x) = \sum_{i=1}^n g_i(x) \cdot x_i$$

Because the sum is symmetric in  $i$  and  $j$ , we may assume that  $g_1$  is symmetric in  $x_1$ .<sup>14</sup> Note that

$$h_1(x) = \frac{1}{2} g_1(x) \cdot x_1,$$

which is non-degenerate by assumption.

Now we restrict the proof of diagonalization of a non-degenerate quadratic form. We do this by induction. Suppose we have coordinates  $u_1, \dots, u_{k-1}$  in a neighborhood of  $0$  such that

$$f = h_1^2(u_1) - \dots - h_{k-1}^2(u_{k-1}) + \sum_{i=k}^n u_i^2 h_i(u_i).$$

<sup>12</sup> The difference between  $H_p(X, Y)$  and  $H_p(Y, X)$  is given by

$$H_p(X, Y) - H_p(Y, X) = X(Y)f'' f''^*(Y) - Y(X)f'' f''^*(X) = [X, Y]f'' f''^*(X) = 0.$$

The value of  $H_p$  also does not depend on the choice of the coordinate system. Indeed, suppose  $f$  and  $\tilde{f}$  are two different extensions of  $f$ . Then by symmetry of  $H_p$ , we have

$$X(Y)f'' f''^*(Y) = X(Y)\tilde{f}'' \tilde{f}''^*(Y).$$

This also shows linearity of the second argument.

<sup>13</sup> John Milnor, *Morse Theory* (AMS-55), Vol. 16, Princeton University press, 1968, p. 6.

<sup>14</sup> If  $h_1$  is not symmetric, we can replace it by  $h_2 = h_1 + h_1 \cdot x_1$ . Then  $h_2$  is symmetric and we still have  $\sum_{i=1}^n u_i^2 h_i(u_i) = \sum_{i=1}^n u_i^2 h_2(u_i)$ .

## Abbildung: Auszug einer Masterarbeit über Morse Theory

# Beispiel 1

Beispiele:

- Irgendwas mit Euler [1]

$$\mathcal{L} = \frac{\partial}{\partial t} + \frac{1}{2} \sum_{k=1}^m \frac{\partial^2}{\partial y_k^2}.$$

- Analysis Aufgabe:

$$\lim_{x \rightarrow \int_0^\infty \sqrt{t} e^{-t} dt} \left( \left( \sum_{n=0}^{\infty} \frac{x^{4n_4}}{(2n+1)(4n+3)(4n+4)} \right)'' \right).$$



# Toeplitz Matrix

$$A = \begin{bmatrix} a_0 & a_{-1} & a_{-2} & \dots & \dots & a_{-n+1} \\ a_1 & a_0 & a_{-1} & \ddots & & \vdots \\ a_2 & a_1 & \ddots & \ddots & \ddots & \vdots \\ \vdots & \ddots & \ddots & \ddots & a_{-1} & a_{-2} \\ \vdots & & \ddots & a_1 & a_0 & a_{-1} \\ a_{n-1} & \dots & \dots & a_2 & a_1 & a_0 \end{bmatrix}.$$

# Physik Beispiel

Sequential Quantum Circuits as Maps between Gapped Phases.[2]

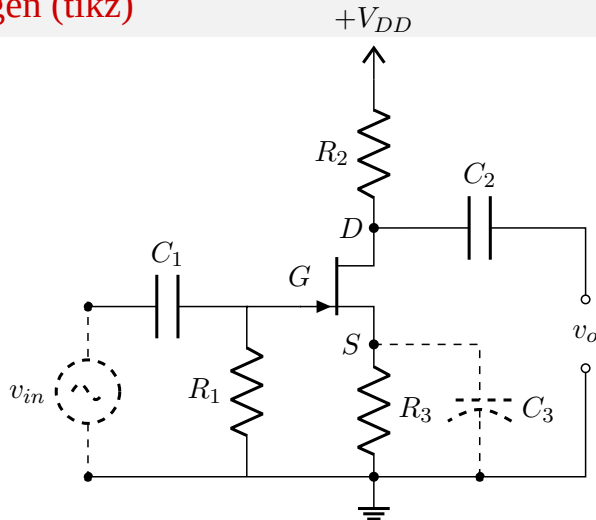
$$\frac{1}{|G|} \sum_g X_i^g \rightarrow \sum_h T_{i-1}^h T_i^h, \quad i = 2, \dots, N,$$

$$\frac{1}{|G|} \sum_g X_1^g \rightarrow \frac{1}{|G|} \sum_{h,h'} e^{-\frac{2\pi i}{|G|}(h'-h)g} T_1^h T_N^{h'} \prod_{i=1}^N X_i^g,$$

$$\sum_h T_i^h T_{i+1}^h \rightarrow \frac{1}{|G|} \sum_g X_i^g, \quad i = 2, \dots, N$$

$$\sum_h T_1^h T_2^h \rightarrow \frac{1}{|G|} \sum_g X_1^g \prod_{i=1}^N X_i^g.$$

# Abbildungen (tikz)



# Aus gestalterischer Sicht

Im Vergleich zu Affinity Publisher

Publisher	L <sup>A</sup> T <sub>E</sub> X
Wird unübersichtlich, wenn man nicht genau weiß, was man macht.	Wird auf größeres Dokument nicht unübersichtlich.
Man muss alles grafisch anordnen.	Sachen sind da, wo sie hingehören.

# Wie man es benutzt

- Arch-basiert: `pacman -S texlive-basic`
- Debian-basiert: `apt-get install texlive-full`
- MacOS: MacTeX
- Windows: MiKTeX
- Online: Overleaf

# Weitere Ressourcen

- diese Präsentation:  
<https://github.com/d-rems/LaTeX-Einfuehrung/>
- L<sup>A</sup>T<sub>E</sub>X Tutorials, von Luke Smith
- Overleaf Tutorials
- “The T<sub>E</sub>Xbook”, von Donald E. Knuth

# Literatur

- [1] Marcin Baranek u. a. *On the randomized Euler algorithm under inexact information*. 2023. [arXiv: 2307.04718 \[math.NA\]](#).
- [2] Xie Chen u. a. *Sequential Quantum Circuits as Maps between Gapped Phases*. 2023. [arXiv: 2307.01267 \[cond-mat.str-el\]](#).